

共通VideoAPI対応視線位置計測システムの開発

電子技術総合研究所

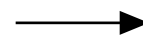
松田圭司、永見武司

本装置の目的

- ・ 視覚に関する心理学的研究
- ・ 医療検査
- ・ マンマシンインターフェースへの応用

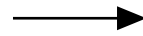
目的を実現するための課題

- ・ 十分な精度
- ・ コンパクトな装置環境
- ・ コストの低減

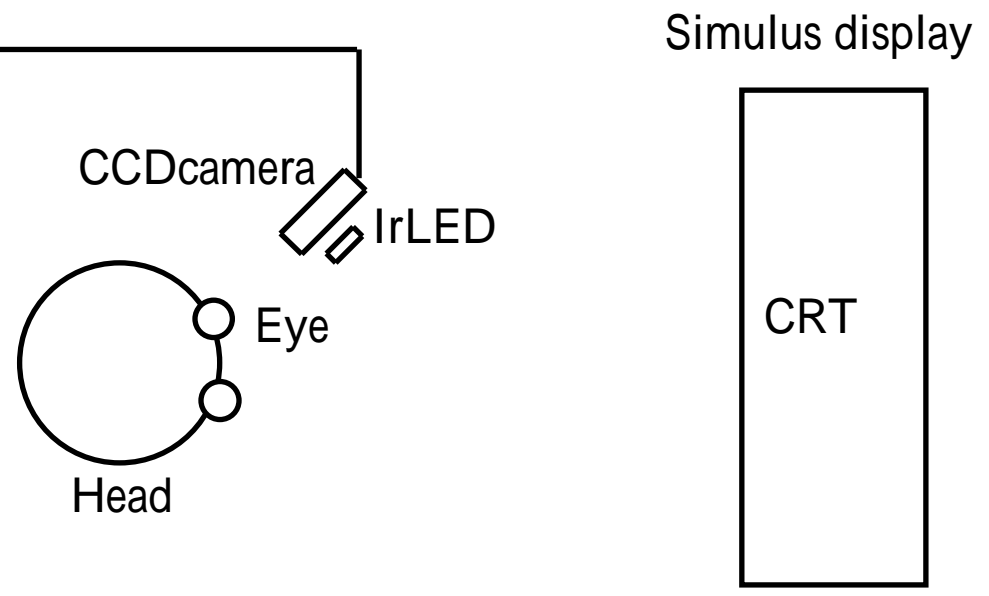
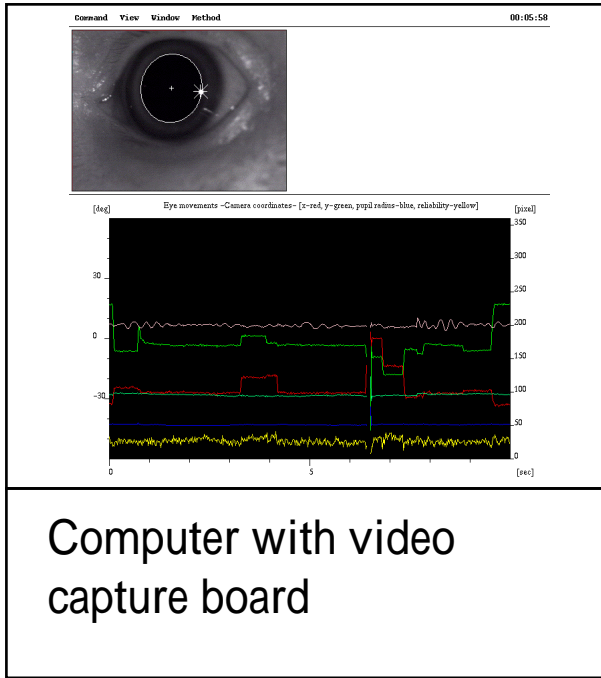


共通ビデオAPIにより実現

- ・ 簡便な操作性
- ・ 被験者の負担軽減



頭部の動きを許容するアルゴリズム



装置概要

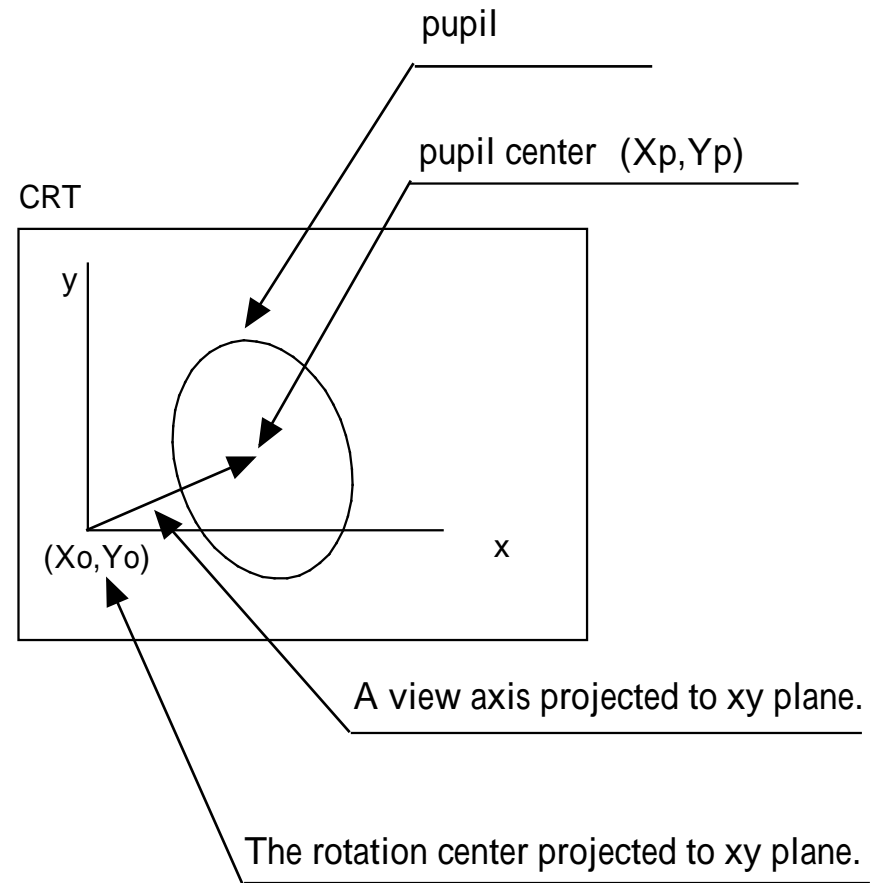
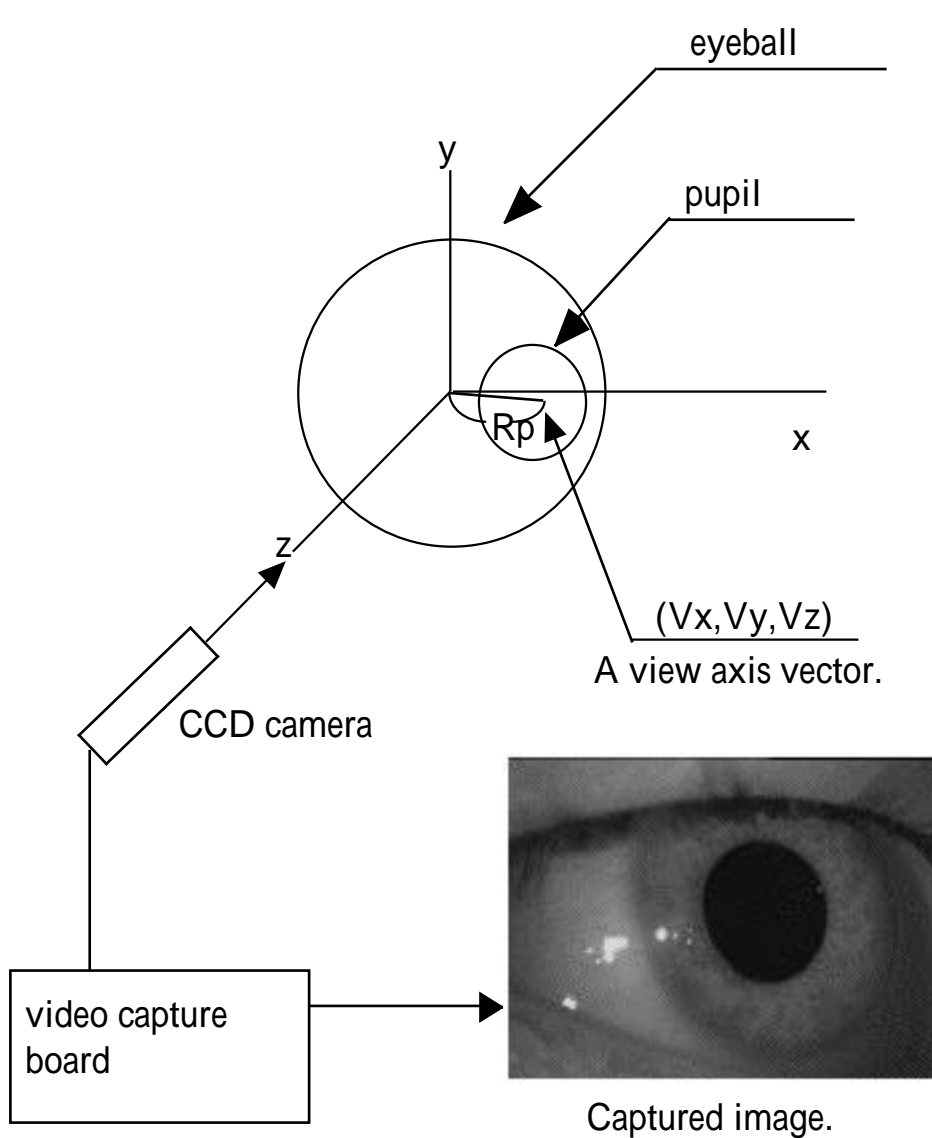
共通ビデオアプリケーションインターフェース

様々なハードウェア上で動作するために、共通ビデオAPIを介してハードウェアにアクセスする

- ハードウェア初期化命令
 - 画像取込み命令
 - 任意の座標の濃淡値を読み出す命令
 - ハードウェア終了命令
- ```
void EPH_Init()
void EPH_GetImage();
int EPH_Read(int x,int y);
void EPH_End();
```

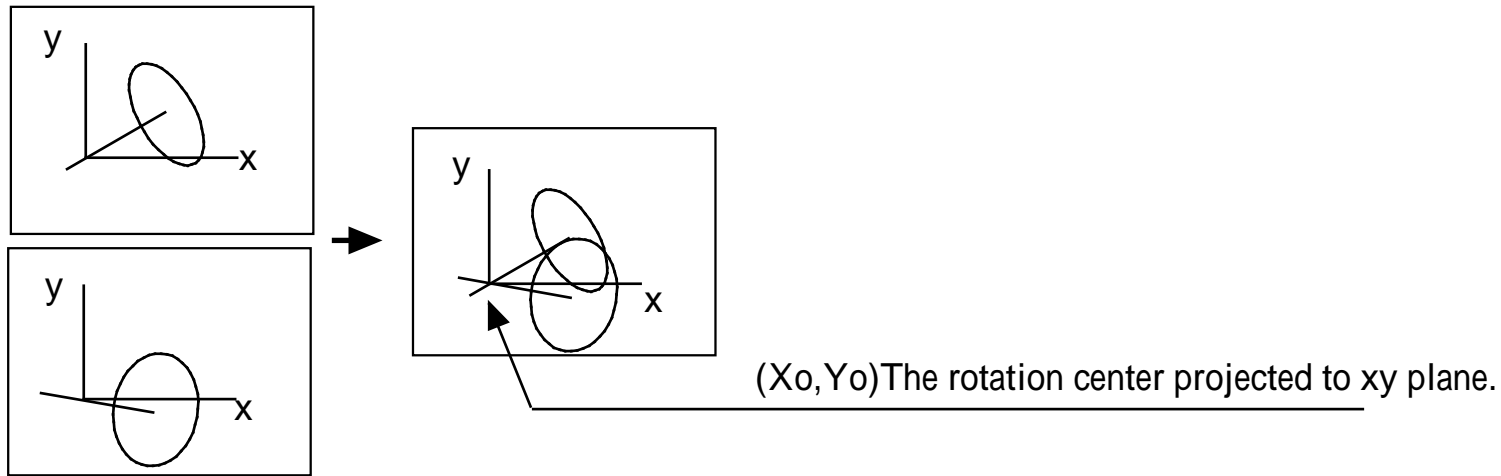
## 現在動作しているハードウェア

- Video for Linux に適合しているビデオ入力装置 (Linux, 60Hz対応)
- IBM Smart Capture Card (FreeBSD & notebook)
- アルゴクラフト社 ビデオ入力装置 (Linux)

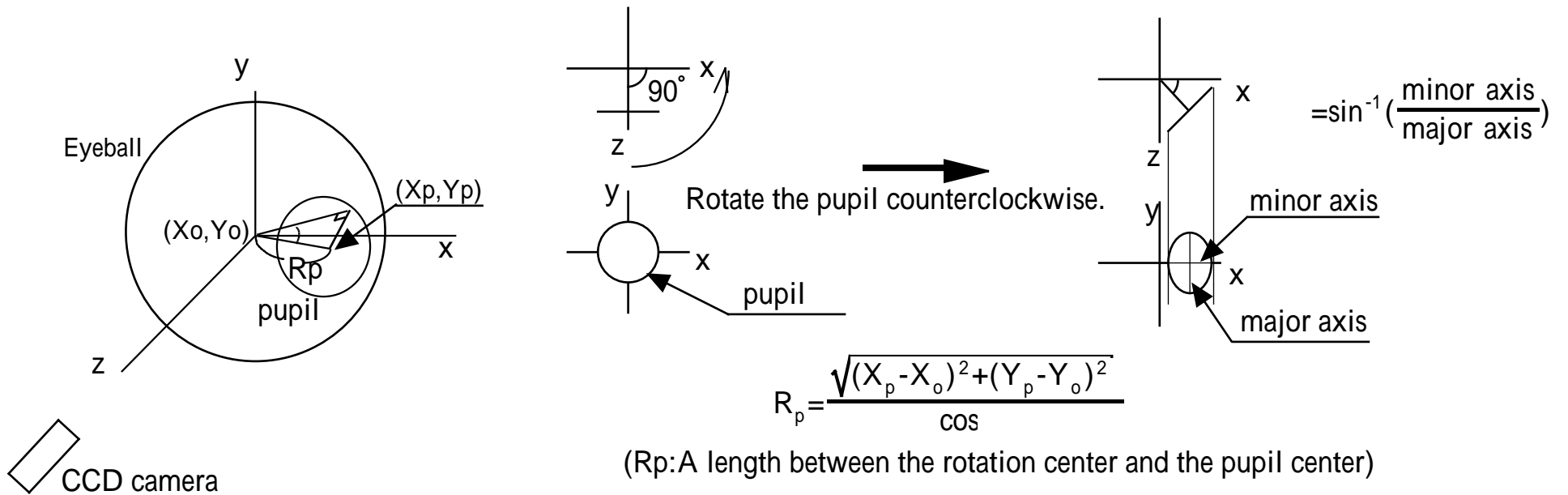


$$(v_x, v_y, v_z) = \left( \frac{X_p - X_o}{R_p}, \frac{X_p - Y_o}{R_p}, \frac{\sqrt{R_p^2 - (X_p - X_o)^2 - (X_p - Y_o)^2}}{R_p} \right)$$

頭部の動きを許容しない従来のシステム



The rotation center projected to xy plane exists on the extended line of ellipses' minor axes.



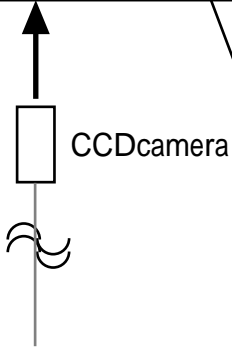
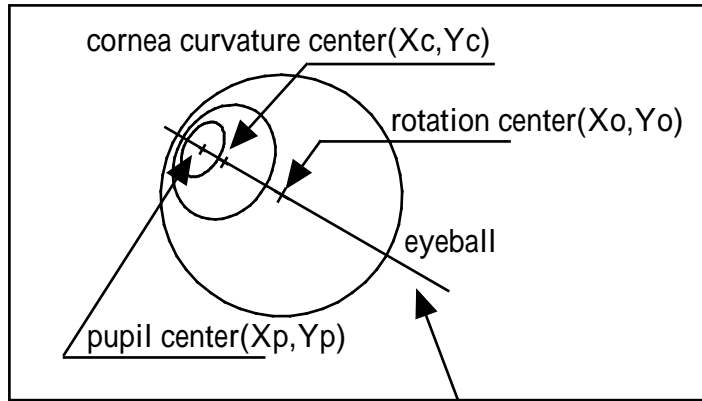
眼球回転中心位置、瞳孔中心回転半径を求める

The view axis in the camera coordinate system.

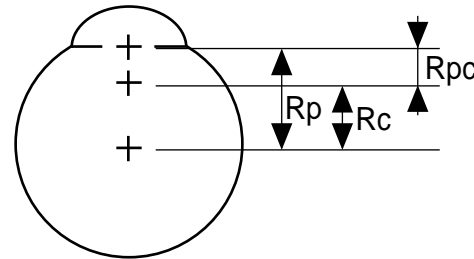
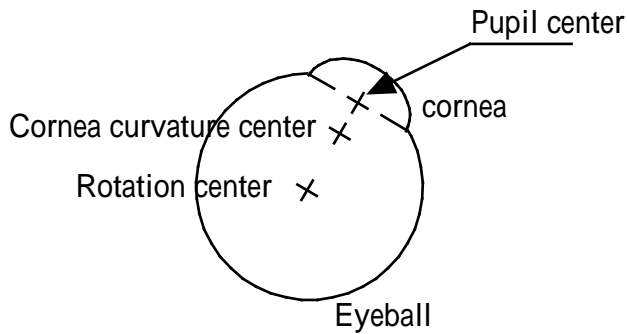
$$(V_x, V_y, V_z) = \left( \frac{X_p - X_c}{R_{pc}}, \frac{Y_p - Y_c}{R_{pc}}, \frac{\sqrt{R_{pc}^2 - (X_p - X_c)^2 - (Y_p - Y_c)^2}}{R_{pc}} \right)$$

The rotation center.

$$(X_o, Y_o) = \left( \frac{R_c X_p - R_p X_c}{R_c - R_p}, \frac{R_c Y_p - R_p Y_c}{R_c - R_p} \right)$$



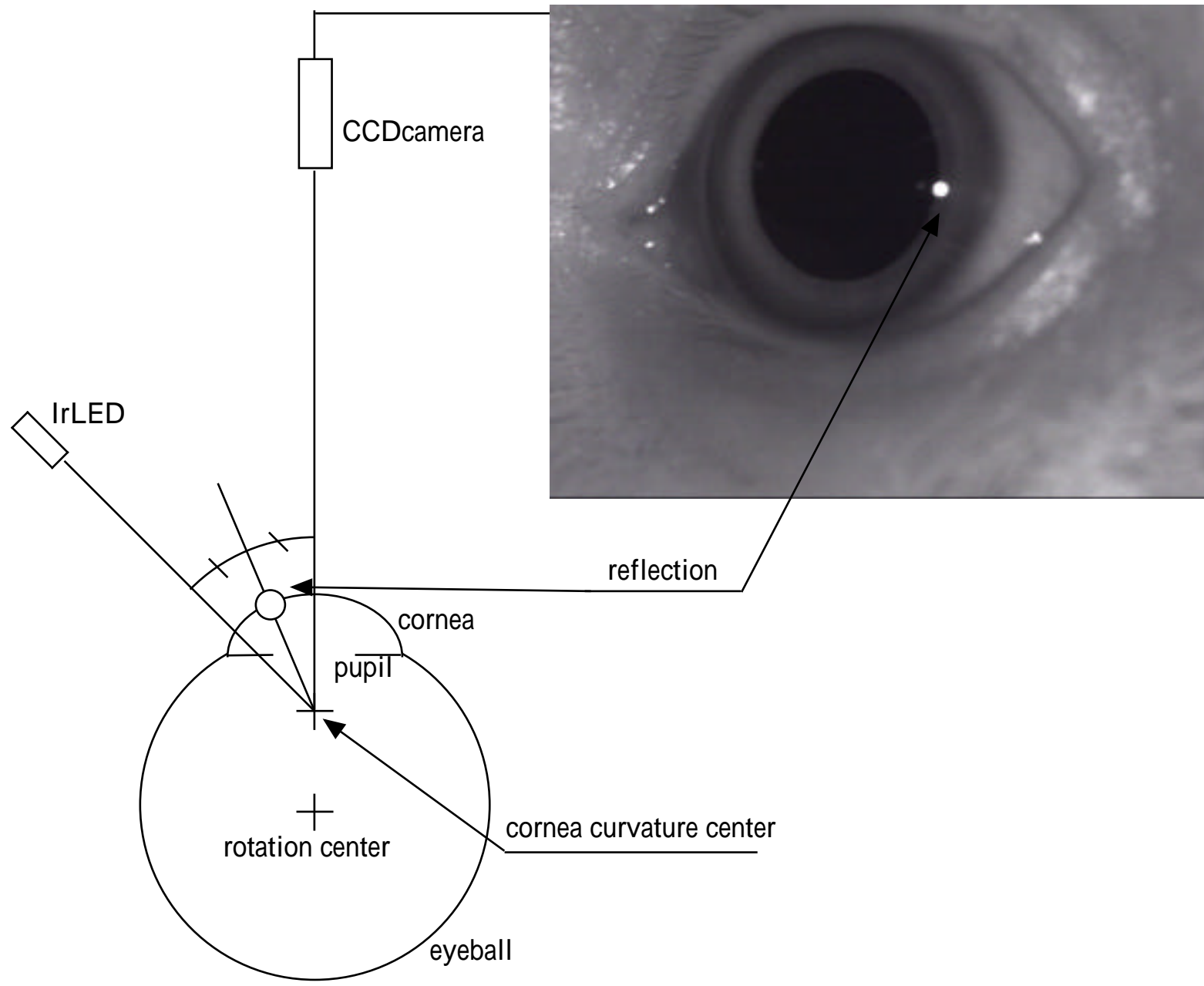
The pupil center, the cornea curvature center and rotation center exist on the same line.



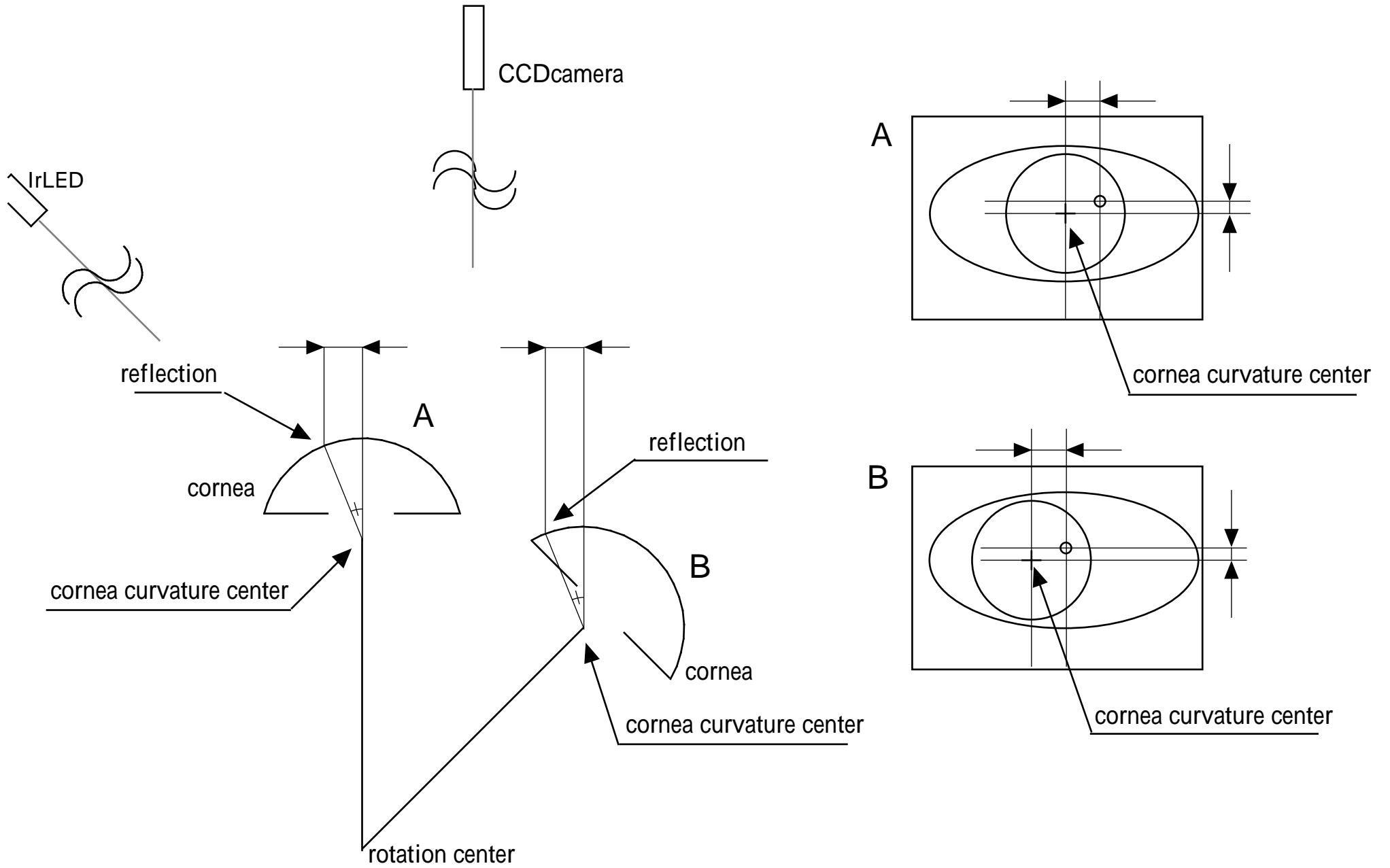
$$R_{pc} : R_p = \sqrt{(X_p - X_c)^2 + (Y_p - Y_c)^2} : \sqrt{(X_p - X_o)^2 + (Y_p - Y_o)^2}$$

$$R_c = R_p - R_{pc}$$

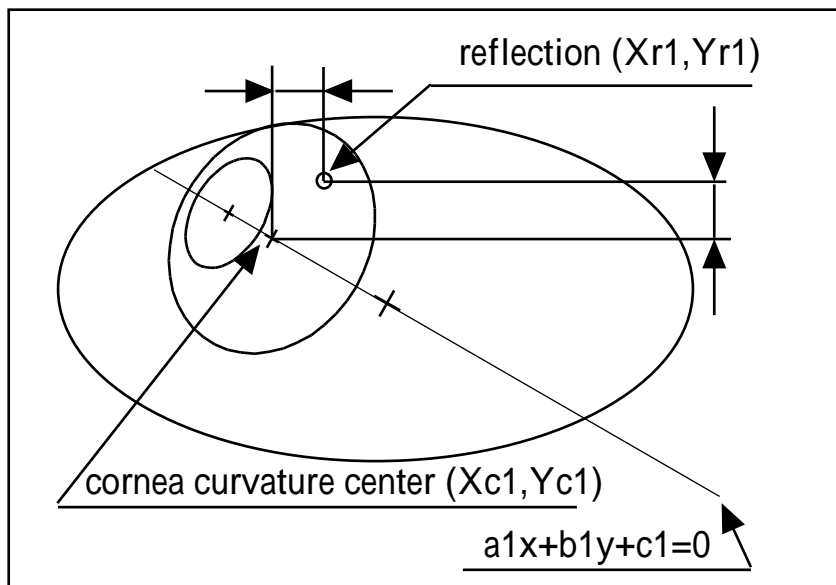
頭部の動きを許容するシステムの原理



反射点出現位置

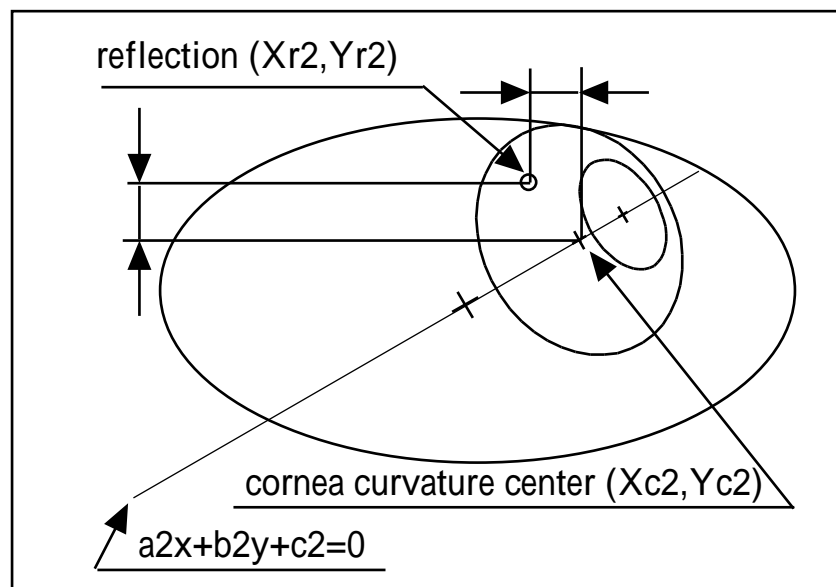


反射点と角膜曲率中心の位置関係



$$\begin{cases} X_{c1} = X_{r1} - \\ Y_{c1} = Y_{r1} - \\ a_1X_{c1} + b_1Y_{c1} + c_1 = 0 \end{cases}$$

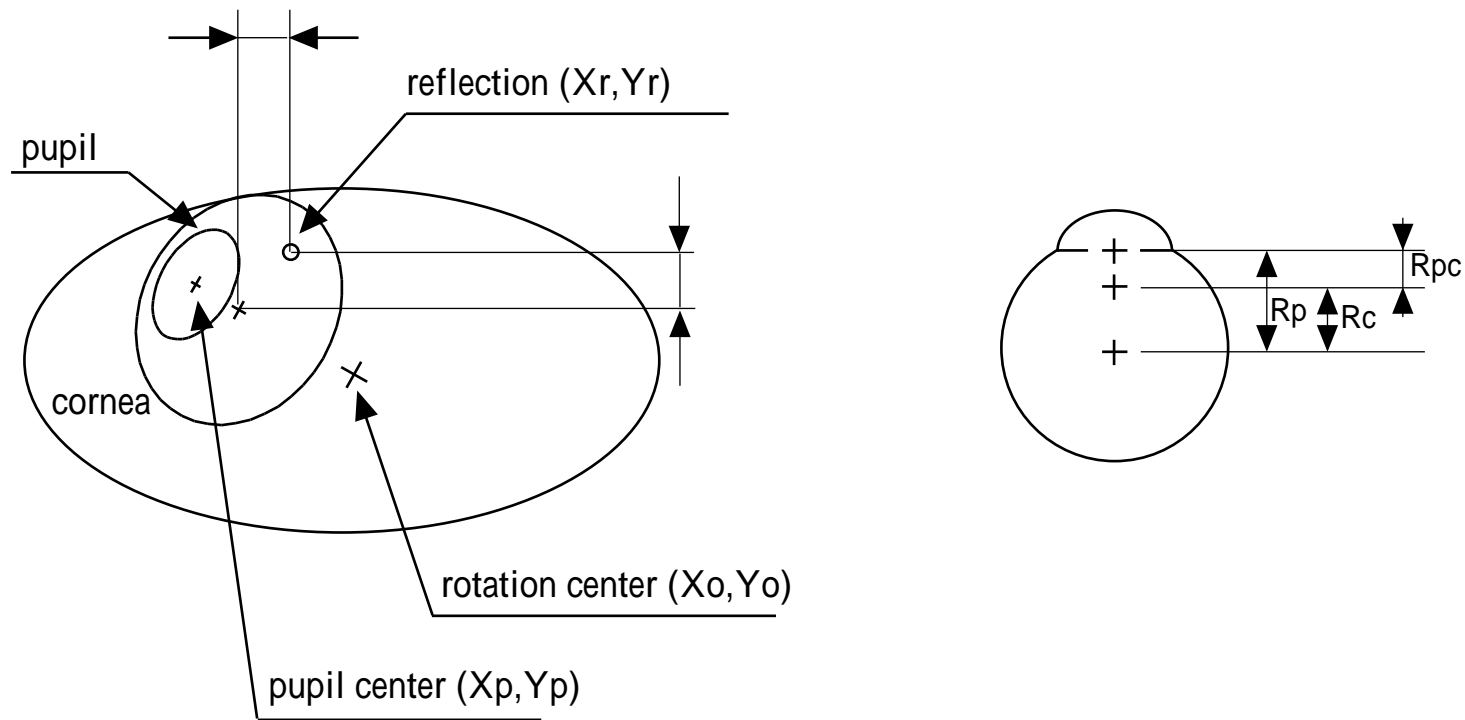
$$a_1(X_{r1} - \quad) + b_1(Y_{r1} - \quad) + c_1 = 0$$



$$\begin{cases} X_{c2} = X_{r2} - \\ Y_{c2} = Y_{r2} - \\ a_2X_{c2} + b_2Y_{c2} + c_2 = 0 \end{cases}$$

$$a_2(X_{r2} - \quad) + b_2(Y_{r2} - \quad) + c_2 = 0$$

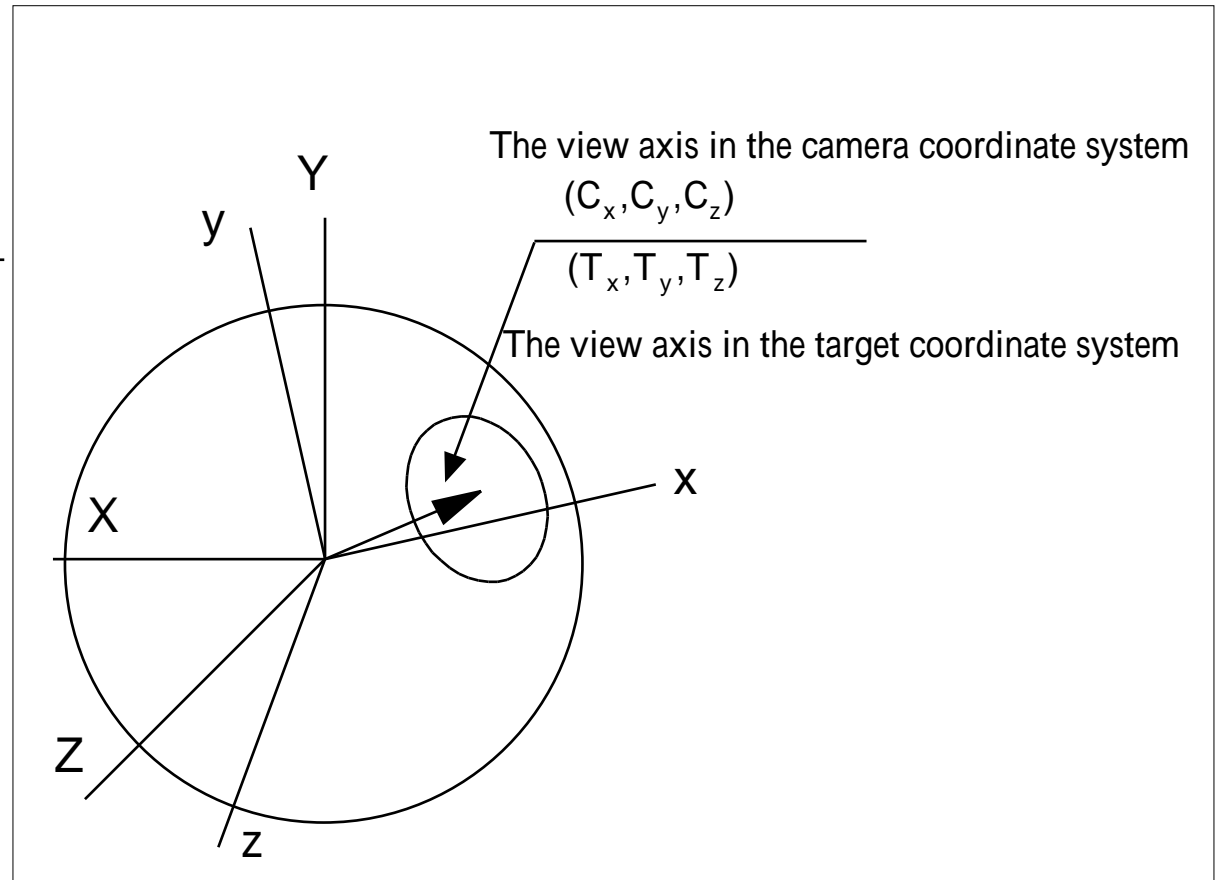
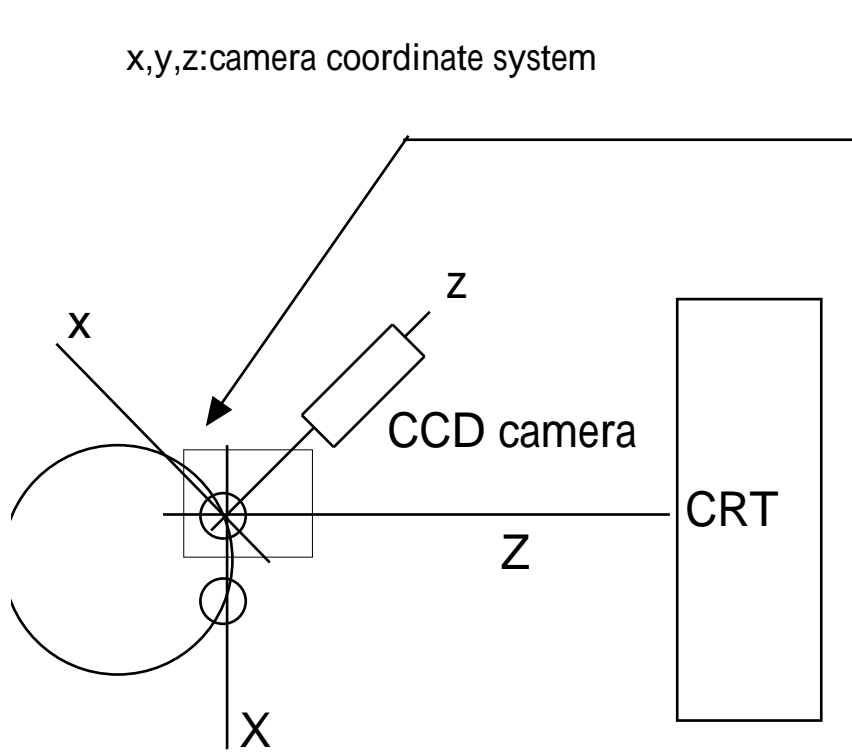
反射点のオフセットを求める



視線ベクトル  $(V_x, V_y, V_z) = \left( \frac{X_p - X_r}{R_{pc}}, \frac{Y_p - Y_r}{R_{pc}}, \frac{\sqrt{R_{pc}^2 - (X_p - X_r)^2 - (Y_p - Y_r)^2}}{R_{pc}} \right)$

眼球回転中心座標  $(X_o, Y_o) = \left( \frac{R_c X_p - R_p (X_r)}{R_c - R_p}, \frac{R_c Y_p - R_p (Y_r)}{R_c - R_p} \right)$

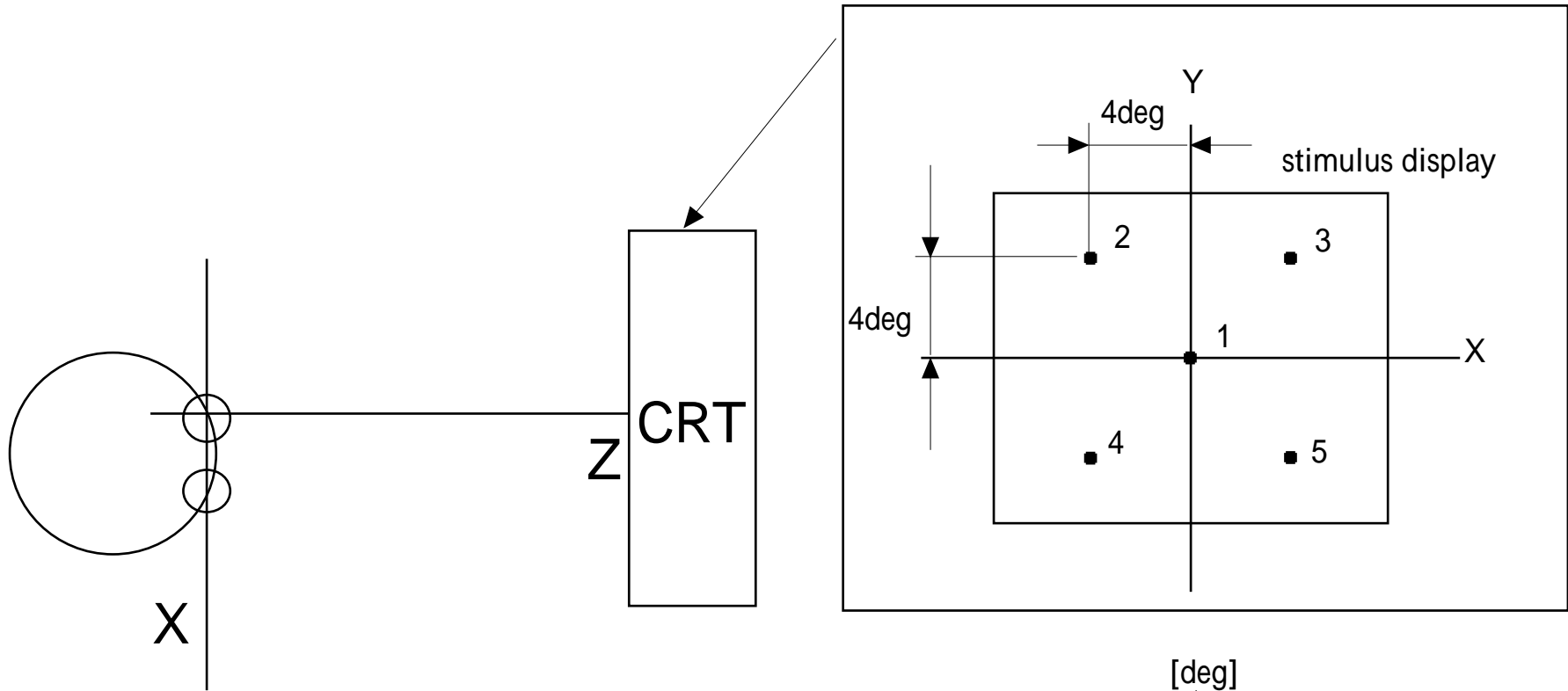
瞳孔中心座標、反射点より視線ベクトル及び眼球回転中心位置を求める



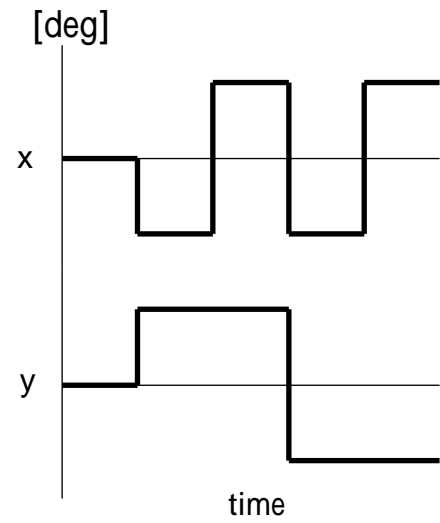
X,Y,Z:the target coordinate system

$$\begin{bmatrix} T_x \\ T_y \\ T_z \end{bmatrix} = \begin{bmatrix} a & b & c \\ d & e & f \\ g & h & i \end{bmatrix} \begin{bmatrix} C_x \\ C_y \\ C_z \end{bmatrix}$$

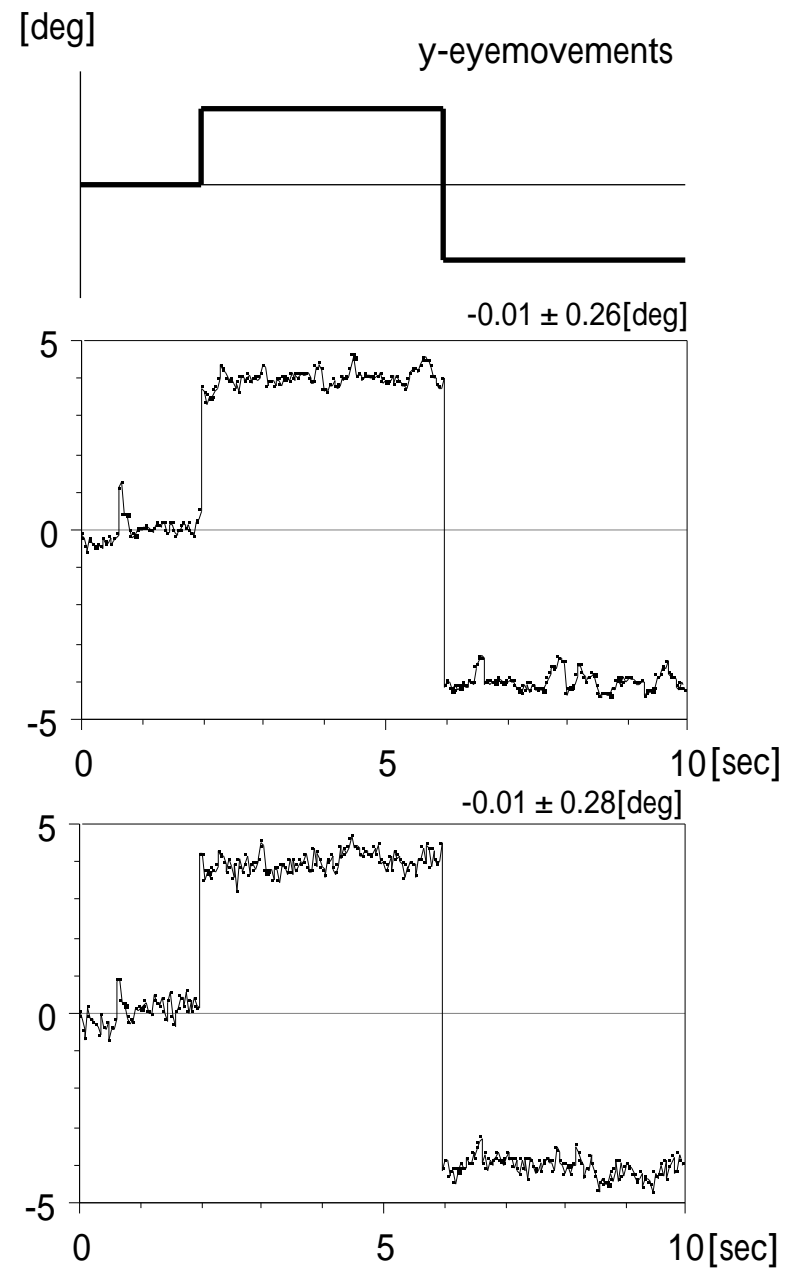
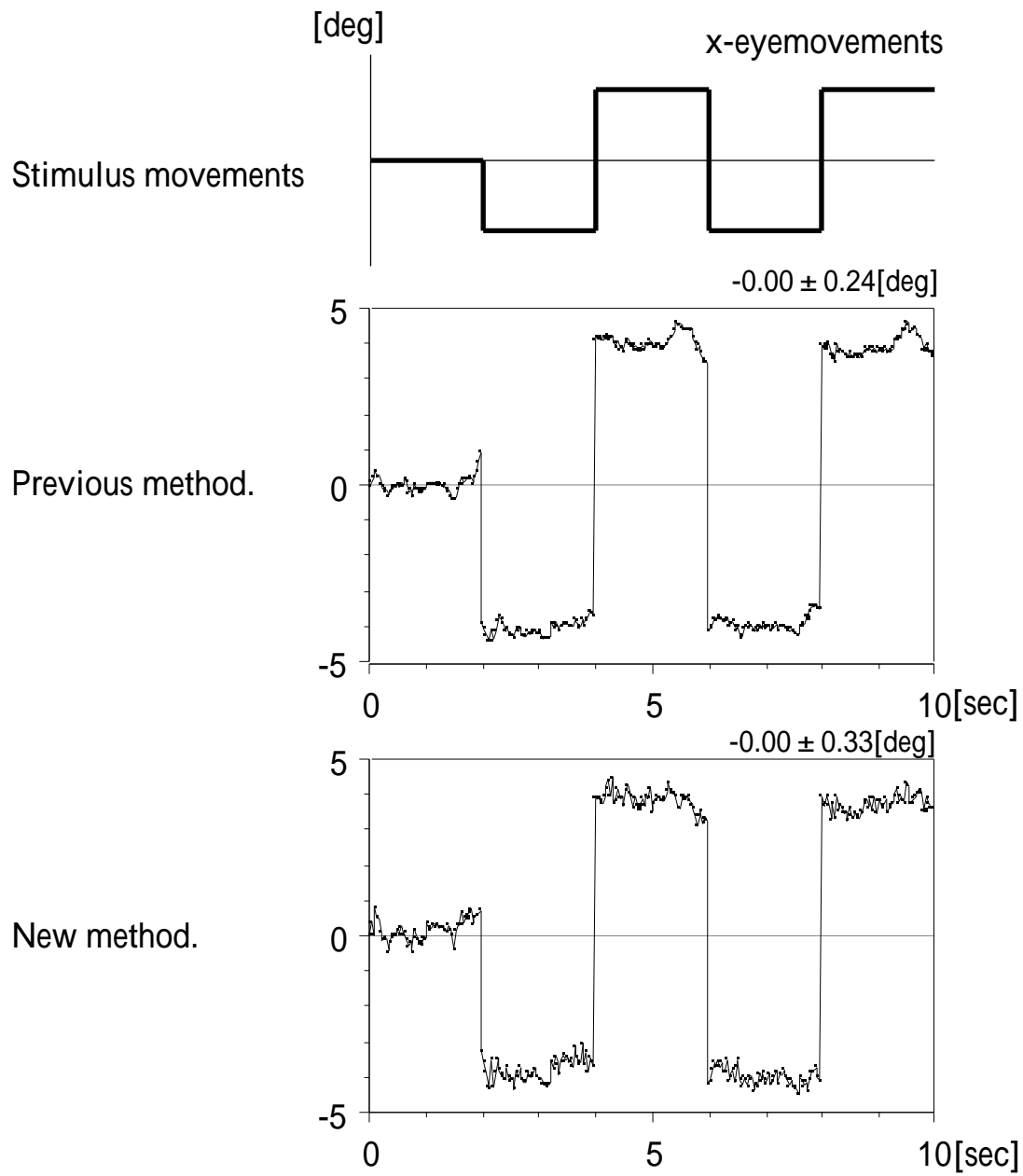
座標变换行列



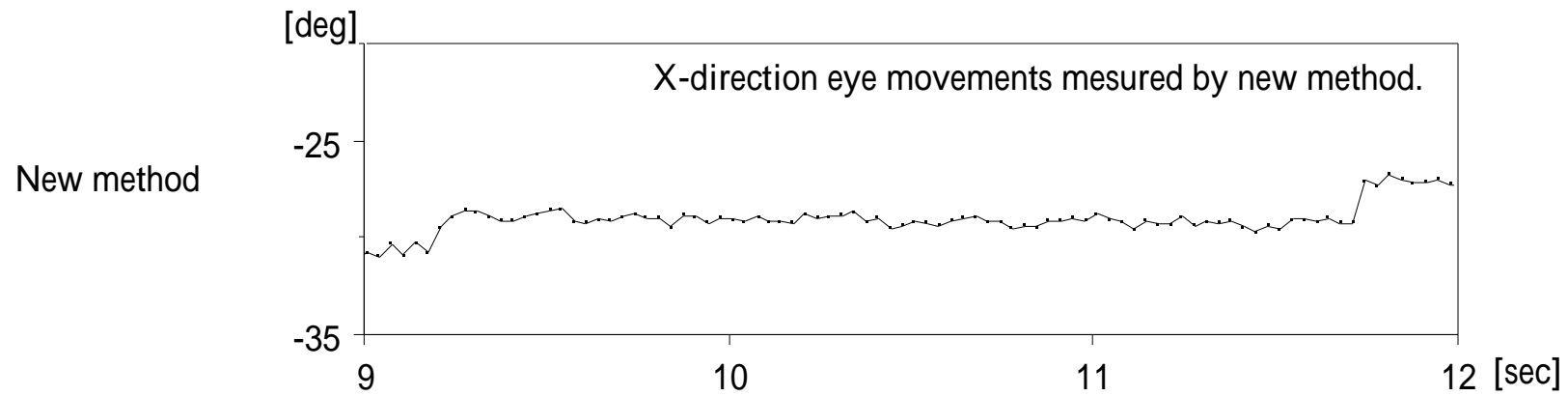
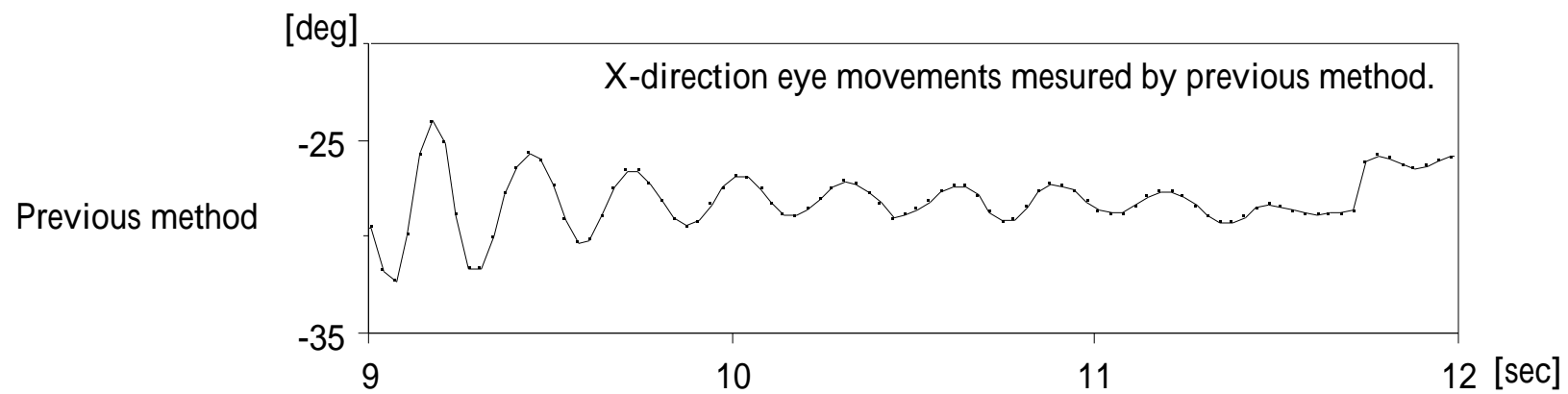
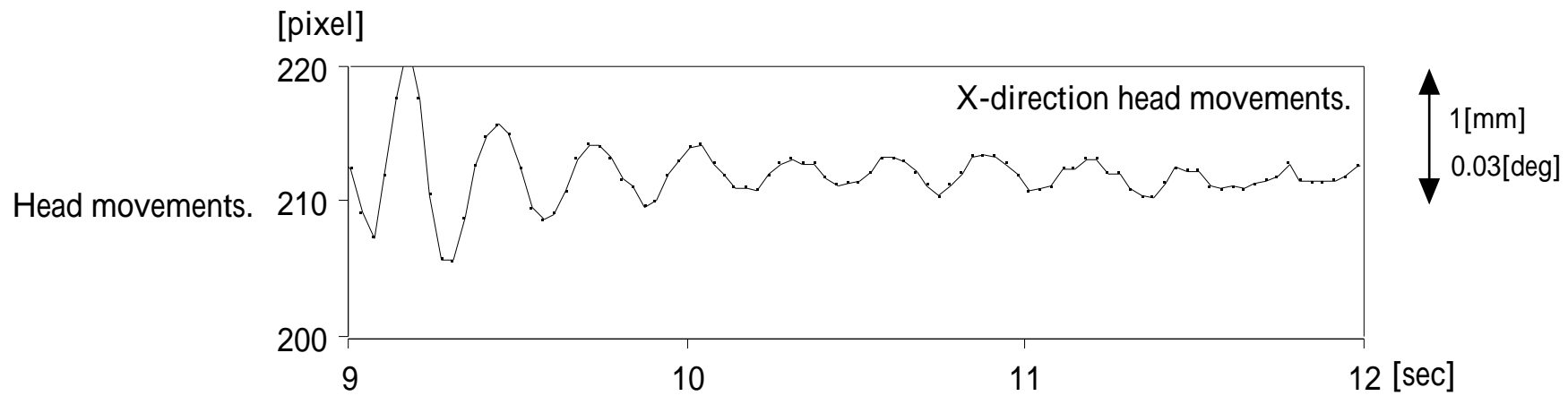
$$\begin{bmatrix} a & d & g \\ b & e & h \\ c & f & i \end{bmatrix} = \begin{bmatrix} \sum_{i=1}^n c_{xi}^2 & \sum_{i=1}^n c_{xi} c_{yi} & \sum_{i=1}^n c_{zi} c_{xi} \\ \sum_{i=1}^n c_{xi} c_{yi} & \sum_{i=1}^n c_{yi}^2 & \sum_{i=1}^n c_{yi} c_{zi} \\ \sum_{i=1}^n c_{zi} c_{xi} & \sum_{i=1}^n c_{yi} c_{zi} & \sum_{i=1}^n c_{zi}^2 \end{bmatrix}^{-1} \begin{bmatrix} \sum_{i=1}^n c_{xi} T_{xi} & \sum_{i=1}^n c_{xi} T_{yi} & \sum_{i=1}^n c_{xi} T_{zi} \\ \sum_{i=1}^n c_{yi} T_{xi} & \sum_{i=1}^n c_{yi} T_{yi} & \sum_{i=1}^n c_{yi} T_{zi} \\ \sum_{i=1}^n c_{zi} T_{xi} & \sum_{i=1}^n c_{zi} T_{yi} & \sum_{i=1}^n c_{zi} T_{zi} \end{bmatrix}$$



座標変換行列を求める



実験結果



新しい方法による頭部の動き補償

## まとめ

- ・ 共通VideoAPIに対応したプログラムを作成した。
- ・ Video for Linuxを用いることにより、60Hzでの計測が可能となった。
- ・ 角膜反射点を利用することより、頭部の動きを許容する視線位置計測システムの構築ができた。
- ・ 従来よりもコストが下がり、適応できるハードウェアの種類も多いため、様々なアプリケーションへの波及を期待することができる。
- ・ <http://www.etl.go.jp/matsuda/eye/>よりソフトウェアの入手が可能である。